

01;05

Термоэлектрические явления на границе раздела кристаллитов

© А.В. Латышев, А.А. Юшканов

Московский государственный областной университет,
105005 Москва, Россия

e-mail: latyshev@comail.ru, yushkanov@mtu-net.ru

(Поступило в Редакцию 24 февраля 2004 г.)

Получены аналитические выражения для скачка температуры и разности потенциалов электрического поля при прохождении электрического поля через границу раздела кристаллитов. Считаются заданными величина потока электронов (тока) и величина потока тепла, индуцированная первым потоком. Используются кинетическое уравнение в τ -приближении для электронов и уравнение Максвелла для электрического поля. Исследована зависимость коэффициентов скачка температуры и разности потенциалов как функций химического потенциала.

Введение

Термоэлектрические явления на границе раздела между различными металлами являются объектом пристального внимания в течение длительного времени [1,2]. Это связано прежде всего с тем, что такие классические термоэлектрические явления, как эффекты Пельтье и Томсона, находят широкое применение в приложениях. Кроме того, они вызывают большой чисто научный интерес. Отметим, что эти классические термоэлектрические явления имеют место только при контакте различных металлов.

Однако наряду с классическими термоэлектрическими явлениями возможны и другие термоэлектрические явления, которые могут иметь место даже при контакте двух идентичных образцов металла. К таким явлениям относятся скачок температуры и разности потенциалов, возникающие на границе раздела металлов при протекании через границу раздела тока и потока тепла. Эти явления возникают как при контакте различных металлов, так и при контакте идентичных металлов. Последний случай соответствует границе кристаллитов в поликристаллическом образце металла. В данной работе будет рассмотрен именно этот случай.

Для металлов, большинство из которых имеет поликристаллическую структуру, существенное значение имеет оценка величины скачка температуры и разности потенциалов при прохождении тока через границу раздела кристаллитов.

Будем считать, что направление тока перпендикулярно границе раздела, а заданными будем считать величины электрического тока и соответствующего потока тепла. Возьмем для описания поведения электронов кинетическое уравнение в τ -приближении и уравнение Максвелла для описания поведения электрического поля. Модифицируя и применяя развитый в [3,4] метод, находим точное решение данной системы уравнений, а также величины скачка температуры и разности потенциалов как линейные функции величины электрического тока и потока тепла. Коэффициентами при последних величинах являются функции, зависящие от химического потенциала.

Предположим, что поверхность Ферми для рассматриваемого металла является сферической, а граница раздела перпендикулярна направлению электрического поля. Будем считать величину электрического поля достаточно малой для того, чтобы было применимо линейное приближение [1,2].

Направим ось x перпендикулярно поверхности, начало координат возьмем на границе раздела кристаллитов. Пусть в металле имеется поток тепла вдоль оси x . Тогда на расстояниях, существенно превышающих λ — длину свободного пробега электронов, потоку тепла отвечает постоянный градиент температуры $G_T = dT/dx$ (возможной анизотрией металла пренебрегаем). Будем считать, что градиент температуры достаточно мал — относительный перепад на длине λ много меньше единицы.

Слой порядка λ , примыкающий к границе раздела, будем называть слоем Кнудсена, как это принято в кинетике. Вне слоя Кнудсена профиль температуры имеет вид $T = T_{0+} + G_T x$, при $x > 0$ $T = T_{0-} + G_T x$, при $x < 0$. Скачком температуры будем называть величину $\Delta T = T_{0-} - T_{0+}$. При этом ввиду линейности задачи $\Delta T = C_T \lambda G_T$, где C_T — коэффициент, не зависящий от G_T , назовем коэффициентом скачка температуры. Иногда удобнее иметь дело с безразмерной величиной — относительным скачком температуры $\varepsilon_T = \Delta T/T_s$, где T_s — температура поверхности. Тогда $\varepsilon_T = C_T \lambda g_T$, где $g_T = G_T/T_s$ — относительный градиент температуры.

Аналогично при наличии перпендикулярного к поверхности электрического поля профиль потенциала U в металле будет иметь вид $U = U_{0+} - E_0 x$ при $x > 0$, $U = U_{0-} - E_0 x$ при $x < 0$. Здесь E_0 — напряженность поля вдали от поверхности раздела. Вблизи поверхности раздела поле перестает быть постоянным и профиль потенциала становится нелинейным. Скачком потенциала будем называть величину $\Delta U = U_{0-} - U_{0+}$. И в данном случае ввиду линейности задачи мы можем записать $\Delta U = C_U \lambda G_T$, где C_U — коэффициент скачка потенциала.

В общем случае процессы переноса тепла в металле сопровождаются возникновением электрического поля.

Поэтому наряду с задачей о распределении температуры вблизи поверхности металла возникает и задача о поведении электрического поля в слое Кнудсена, генерируемого тепловыми процессами.

Целью данной работы являются вычисленные на основе аналитического решения кинетического уравнения для электронов скачка температуры в металле, нахождения разности потенциалов электрического поля вблизи поверхности и построение профиля электрического поля.

В работе рассматривается общий случай произвольной степени вырождения электронного газа. Поэтому полученные результаты справедливы в широком диапазоне температур и для широкого класса материалов, включая полуметаллы.

Кинетическое уравнение и постановка задачи

В кинетике металлов часто используется кинетическое уравнение для электронов в τ -приближении [1,2]

$$\frac{\partial f}{\partial t} + (\mathbf{v}\nabla)f + e_0\mathbf{E}\frac{\partial f}{\partial \mathbf{p}} = \frac{1}{\tau}(f_F^0 - f). \quad (1)$$

Здесь f — функция распределения электронов, e_0 — заряд электрона, \mathbf{p} — импульс электрона, \mathbf{E} — электрическое поле, \mathbf{v} — скорость электронов, τ — время релаксации электронов, f_F^0 — фермиевской функции распределения. При конечной температуре в уравнении (1) в качестве равновесной функции распределения электронов вместо f_F^0 , соответствующей нулевой температуре, должна стоять фермиевская функция распределения f_F^* с некоторой эффективной температурой T_* и эффективным химическим потенциалом μ_* . При этом уравнение (1) запишется в виде

$$\frac{\partial f}{\partial t} + (\mathbf{v}\nabla)f + e_0\mathbf{E}\frac{\partial f}{\partial \mathbf{p}} = \frac{v}{\lambda}(f_F^* - f). \quad (2)$$

Здесь f_F^* — функция распределения Ферми (фермиан), $f_F^* = f_F(\mu_*, T_*)$,

$$f_F(\mu_*, T_*) = \left[\exp\left(\frac{mv^2}{2kT_*} - \frac{\mu_*}{kT_*}\right) + 1 \right]^{-1},$$

k — постоянная Больцмана, m — эффективная масса электрона. Детали уравнения (2) обсуждаются в [3].

Для большинства металлов в переносе тепла доминирует вклад электронной подсистемы [5]. Будем рассматривать именно этот случай и пренебрежем вкладом фононов в перенос тепла. Будем считать, что массовая скорость электронного газа много меньше скорости электронов, а возникающие характерные перепады температуры на длине λ малы по сравнению с температурой электронного газа. В этих предположениях возможна линеаризация задачи.

Введем обозначения:

$$\mathbf{c} = \sqrt{\beta_s} \mathbf{v}, \quad \beta_s = \frac{m}{2kT_s}, \quad \alpha = \frac{\mu_s}{kT_s}, \quad \varepsilon_* = \frac{mv^2}{2kT_*} - \frac{\mu_*}{kT_*}.$$

Введем безразмерное время $t_* = \sqrt{T_s/\beta_s}t/\lambda$ и координату $\mathbf{r}_* = \mathbf{r}/\lambda$. При этом $g_{T_*} = \lambda g_T$. Проведем линеаризацию уравнения (2). Применяя законы сохранения числа частиц и энергии, получаем [3] следующее уравнение (звездочки у переменных и градиента в дальнейшем будем опускать):

$$\frac{\partial \varphi}{\partial t} = c\varphi(t, \mathbf{r}, \mathbf{c}) - \mathbf{c}\mathbf{e}(\mathbf{r}) = \frac{c}{2\pi} \int k(c, c')\varphi(t, \mathbf{r}, \mathbf{c}')d\Omega(\alpha). \quad (3)$$

Здесь функция φ связана с функцией распределения f соотношениями $f = f_F^s + g\varphi$, $f_F^s = f_F(\mu_s, T_s)$,

$$k(c, c') = 1 + \frac{g_1^2(\alpha)}{\Delta(\alpha)} \left(c^2 - \frac{g_3(\alpha)}{g_1(\alpha)} \right) \left(c'^2 - \frac{g_3(\alpha)}{g_1(\alpha)} \right),$$

$$g(c) = g(c, \alpha) = \frac{\exp(c^2 - \alpha)}{[1 + \exp(c^2 - \alpha)]^2},$$

$$d\Omega(\alpha) = \frac{g(c', \alpha)c'}{g_1(\alpha)} d^3c',$$

$$g_3(\alpha) = 2 \int_0^\infty g(c, \alpha)c^5 dc = 4 \int_0^\infty c \ln[1 + \exp(\alpha - c^2)] cd,$$

$$g_1(\alpha) = 2 \int_0^\infty g(c, \alpha)c^3 dc = \ln(1 + \exp(\alpha)),$$

$$g_5(\alpha) = 2 \int_0^\infty g(c, \alpha)c^7 dc = 12 \int_0^\infty c^3 \ln[1 + \exp(\alpha - c^2)] dc,$$

$$\Delta(\alpha) = g_1(\alpha)g_5(\alpha) - g_3^2(\alpha), \quad \mathbf{e}(\mathbf{r}) = \frac{e_0\lambda}{kT_s} \mathbf{E}(\mathbf{r}).$$

Предположим, что электроны отражаются от границы раздела чисто диффузно. Система уравнений, описывающих задачу, состоит из уравнения (3) и уравнения для электрического поля. Запишем их в безразмерном виде

$$\mu \frac{\partial \varphi}{\partial x} + \varphi(x, \mu, c) - \mu e(x)$$

$$= \frac{1}{g_1(\alpha)} \int_{-1}^1 \int_0^\infty k(c, c')\varphi(x, \mu', c')g(c')c'^3 d\mu' dc', \quad (4)$$

$$e'(x) = a_0^2 \int_{-1}^1 \int_0^\infty \varphi(x, \mu, c)g(c)c^2 d\mu dc,$$

$$a_0^2 = \frac{e_0^2 m^2 \lambda^2}{\pi^2 \varepsilon_0 \hbar^3 \sqrt{\beta_s}}, \quad \mu = \frac{c_x}{c}, \quad (5)$$

ε_0 — электрическая постоянная.

Граничные условия и условия в объеме металла при $x > 0$ имеют вид

$$\begin{aligned}\varphi(+0, \mu, c) &\equiv \varphi_0(\mu, c) = A_0, \quad 0 < \mu < 1, \\ \varphi(x, \mu, c) &= \varphi_{\text{as}}^+(x, \mu, c) + o(1), \quad x \rightarrow +\infty, \\ e(\infty) &= e_{\text{as}}.\end{aligned}$$

Соответственно при $x < 0$ имеем

$$\begin{aligned}\varphi(-0, \mu, c) &= -A_0, \quad -1 < \mu < 0, \\ \varphi(x, \mu, c) &= \varphi_{\text{as}}^-(x, \mu, c) + o(1), \quad x \rightarrow -\infty, \\ e(-\infty) &= e_{\text{as}}.\end{aligned}$$

Здесь

$$\begin{aligned}\varphi_{\text{as}}^+(x, \mu, c) &= e_{\text{as}}\mu + [\varepsilon_T^+ + g_T(x - \mu)] \left(c^2 - \frac{g_2(\alpha)}{s(\alpha)} \right), \\ \varepsilon_T^+ &= \frac{T_{0+} - T_s}{T_s}, \\ \varphi_{\text{as}}^-(x, \mu, c) &= e_{\text{as}}\mu + [-\varepsilon_T^+ + g_T(x - \mu)] \left(c^2 - \frac{g_2(\alpha)}{s(\alpha)} \right), \\ g_2(\alpha) &= 2 \int_0^\infty g(c, \alpha) c^2 dc = \frac{3}{2} \int_0^\infty \ln[1 + \exp(\alpha - c^2)] dc, \\ g_0(\alpha) &= 2 \int_0^\infty g(c, \alpha) c^2 dc = \int_0^\infty \frac{\exp(\alpha - c^2)}{1 + \exp(\alpha - c^2)} dc.\end{aligned}$$

Здесь мы воспользовались тем, что ввиду симметрии задачи $(T_{0+} - T_s)/T_s = -(T_{0-} - T_s)/T_s$.

Баланс потоков электронов на поверхности

Пусть N_0 — поток электронов, падающий на границу раздела из левого полупространства,

$$N_0 = \int_{c_x > 0} \varphi(0, \mu, c) g(c) (\mu c) d^3 c,$$

N_1 — поток электронов, проходящих через границу слева направо через границу раздела,

$$N_1 = \int_{c_x > 0} A_0 g(c) (\mu c) d^3 c = \frac{\pi}{2} g_1(\alpha) A_0,$$

N_2 — поток электронов, падающий на границу раздела из правого полупространства,

$$N_2 = \int_{c_x < 0} \varphi(0, \mu, c) g(c) (\mu c) d^3 c.$$

Составим уравнение баланса числовых потоков

$$N_1 = pN_0 - (1 - p)N_2,$$

где p — вероятность рассеяния электронов вперед, $Q_0 = Q_2$.

С учетом последенго равенства имеем $N_1 = 2(p - 1/2)N_2$. Следовательно,

$$A_0 = \frac{(4p - 2)}{\pi g_1(\alpha)} \int_{c_x < 0} \varphi(0, \mu, c) g(c) \mu c d^3 c$$

или

$$A_0 = \frac{8p - 4}{g_1(\alpha)} \int_{-1}^0 \mu d\mu \int_0^\infty \varphi(0, \mu, c) g(c) c^3 dc.$$

Для случая изотропного рассеяния, когда $p = 0.5$, имеем $A_0 = 0$. Выражение для A_0 представим в виде

$$\begin{aligned}A_0 &= \frac{8p - 4}{g_1(\alpha)} \left[\int_{-1}^1 \mu d\mu \int_0^\infty \varphi(0, \mu, c) g(c) c^3 dc \right. \\ &\quad \left. - A_0 \int_0^1 \mu d\mu \int_0^\infty g(c) c^3 dc \right].\end{aligned}$$

Отсюда получаем

$$A_0 = \frac{8p - 4}{g_1(\alpha)} \int_{-1}^1 \int_0^\infty \varphi(0, \mu, c) \mu c^3 g(c) dc - (2p - 1)A_0.$$

Интегральное слагаемое в этом равенстве есть полный поток числа электронов. Эта величина постоянна в силу закона сохранения числа электронов (заряда). Поэтому функцию $\varphi(0, \mu, c)$ заменим на $\varphi_{\text{as}}(0, \mu, c)$ и, вычисляя

$$\begin{aligned}A_0 &= \frac{4p - 2}{pg_1(\alpha)} \\ &\times \int_{-1}^1 \int_0^\infty \left[e_{\text{as}}\mu + (\varepsilon_T - g_T\mu) \left(c^2 - \frac{g_2(\alpha)}{g_0(\alpha)} \right) \right] g(c) \mu c^3 d\mu dc,\end{aligned}$$

получаем

$$A_0 = \frac{4p - 2}{3p} (e_{\text{as}} + h_0(\alpha)g_T),$$

где

$$h_0(\alpha) = \frac{\Delta_0(\alpha)}{g_0(\alpha)g_1(\alpha)}, \quad \Delta_0(\alpha) = g_2(\alpha)g_1(\alpha) - g_3(\alpha)g_0(\alpha).$$

Аналитическое решение задачи

Кинетическое уравнение и структура граничных условий позволяют при решении задачи ограничиться рассмотрением полупространства $x > 0$ (случай $x < 0$ рассматривается аналогично). При этом, согласно структуре функции φ_{as} , ищем функцию φ в виде

$$\varphi(x, \mu, c) = h_1(x, \mu) + \left(c^2 - \frac{g_2(\alpha)}{g_0(\alpha)} \right) h_2(x, \mu).$$

Получим следующие задачи: для функции $h_1(x, \mu)$

$$\mu \frac{\partial h_1}{\partial x} + h_1(x, \mu) = \frac{1}{2} \int_{-1}^1 h_1(x, \mu') d\mu' + \mu e(x),$$

$$h_1(0, \mu) = A_0, \quad 0 < \mu < 1,$$

$$h_1(x, \mu) = e_{as} \mu + o(1), \quad x \rightarrow +\infty, \quad -1 < \mu < 0;$$

для функции $h_2(x, \mu)$

$$\mu \frac{\partial h_2}{\partial x} + h_2(x, \mu) = \frac{1}{2} \int_{-1}^1 h_2(x, \mu') d\mu',$$

$$h_2(0, \mu) = 0, \quad 0 < \mu < 1,$$

$$h_2(x, \mu) = \varepsilon_T^+ + G_T(x - \mu) + o(1),$$

$$x \rightarrow +\infty, \quad -1 < \mu < 0.$$

Для электрического поля при этом получаем

$$e'(x) = a^2 \frac{1}{2} \int_{-1}^1 h_1(x, \mu) d\mu, \quad e(\infty) = e_{as}, \quad a = a_0 \sqrt{g_0(\alpha)}.$$

Рассмотрим задачу о температурном скачке — задача для функции $h_2(x, \mu)$. Эта задача решена в [3]. Величина температурного скачка находится по формуле

$$\Delta T^+ = T_{0+} - T_s = V_1 G_T, \quad V_1 = -\frac{1}{\pi} \int_0^1 \xi(\tau) d\tau = 0.71045,$$

$$\xi(\tau) = -\frac{\pi}{2} - \arctg\left(\frac{2}{\pi\tau} + \frac{1}{\pi} \ln \frac{1-\tau}{1+\tau}\right).$$

С обеих сторон от границы раздела кристаллитов величина скачка температуры совпадает $\Delta T^- = T_{0-} - T_s = -\Delta T^+$. Поэтому полный скачок температуры на границе раздела кристаллитов удваивается. Отсюда имеем

$$\Delta T = \Delta T^- - \Delta T^+ = -2V_1 G_T. \quad (7)$$

Согласно [3,4], функция $h_1(x, \mu)$, $e(x)$ ищутся в виде разложений

$$h_1(x, \mu) = e_{as} \mu + A_1 \exp(-ax) + \int_0^1 \exp\left(-\frac{x}{\eta}\right) F(\eta, \mu) n(\eta) d\eta, \quad (8)$$

$$e(x) = e_{as} - aA_1 \exp(-ax) - \frac{a^2}{2} \int_0^1 \exp\left(-\frac{x}{\eta}\right) n(\eta) d\eta. \quad (9)$$

Здесь A_1 — неизвестная постоянная, $n(\eta)$ — неизвестная функция,

$$F(\eta, \mu) = \frac{a^2}{2} \eta + \frac{1 - a^2 \eta^2}{\eta} \left[\frac{\eta}{2} P \frac{1}{\eta - \mu} + \lambda(\eta) \delta(\eta - \mu) \right],$$

символ Px^{-1} означает главное значение интеграла от x^{-1} , $\delta(x)$ — дельта-функция Дирака,

$$\lambda(z) = 1 + \frac{z}{2} \int_{-1}^1 \frac{d\tau}{\tau - z},$$

$\lambda(z)$ — дисперсионная функция Кейза [6].

Подстановкой разложений (8), (9) в соответствующие граничные условия приводит к уравнениям

$$A_0 = e_{as} \mu + A_1 + A_2$$

$$+ \frac{1}{2} \int_0^1 (1 - a^2 \eta^2) \frac{n(\eta) d\eta}{\eta - \mu} + (1 - a^2 \mu^2) \frac{\lambda(\mu)}{\mu} = 0,$$

$$0 < \mu < 1, \quad A_2 = \frac{a^2}{2} \int_0^1 \eta n(\eta) d\eta \quad (10)$$

и

$$e_{as} - e(0) - aA_1 - \frac{a^2}{2} \int_0^1 n(\eta) d\eta = 0. \quad (11)$$

Из решения уравнения (10) находим

$$A_1 = A_0 - A_2 - e_{as} V_1,$$

$$(1 - a^2 \eta^2) n(\eta) = \frac{e_{as}}{\pi i} \left[\frac{1}{X^+(\eta)} - \frac{1}{X^-(\eta)} \right] = -\frac{2e_{as}}{\pi} \frac{\sin \xi(\eta)}{X(\eta)},$$

$$aA_1 = -e(0) + \frac{a}{2} e_{as} \left[\frac{\cos \xi(1/a)}{X(1/a)} - \frac{1}{X(-1/a)} \right],$$

$$A_2 = -e_{as} \left[V_1 + \frac{\cos \xi(1/a)}{2X(1/a)} + \frac{1}{2X(-1/a)} \right], \quad (12)$$

где

$$X(z) = \frac{1}{z} \exp V(z), \quad V(z) = \frac{1}{\pi} \int_0^1 \frac{\xi(\tau) d\tau}{\tau - z}.$$

Подставляя найденные значения A_0, A_1, A_2 в (12), находим значение электрического поля на границе раздела кристаллитов

$$e(0) = -\frac{a(4p-2)}{3p} (e_{as} + h_0(\alpha) g_T) - \frac{ae_{as}}{X(-1/a)}. \quad (13)$$

Скачок потенциала и температуры, ток и поток тепла

Величину скачка потенциала найдем согласно его определению по формуле

$$\Delta U = \int_{-\infty}^{\infty} [e(x) - e_{as}] dx = 2 \int_0^{\infty} [e(x) - e_{as}] dx$$

$$= -2A_1 - a^2 \int_0^1 \eta n(\eta) d\eta = -2(A_1 + A_2)$$

или, согласно (12)

$$\begin{aligned}\Delta U &= -2(A_0 - V_1 e_{as}) \\ &= -e_{as} \left(\frac{8p-4}{3p} - 2V_1 \right) - \frac{8p-4}{3p} h_0(\alpha) g_T. \quad (14)\end{aligned}$$

Плотность тока j через функцию распределения вычисляется по формуле

$$j = 2e_0 \left(\frac{m}{2\pi\hbar} \right)^3 \int v_x \varphi(x, \mathbf{v}, t) d^3v$$

или, переходя к безразмерным переменным и заменяя φ на φ_{as} , имеем ($e_0 < 0$)

$$\begin{aligned}j &= -\frac{1}{\delta_j} [g_1(\alpha) e_{as} + h_0(\alpha) g_1(\alpha) g_T], \\ \delta_j &= -\frac{24\pi^2 \hbar^3 T_s^2 k^2}{e_0 m^5} > 0. \quad (15)\end{aligned}$$

При этом величина

$$\sigma = -\frac{e_0 \lambda}{k T_s \delta_j} g_1(\alpha) > 0$$

равна электрической проводимости металла.

Тепловой поток в металле вычислим через функцию f по формуле

$$Q = 2 \int \frac{mv^2}{2} v_x f \frac{d^3p}{(2\pi\hbar)^3},$$

откуда, переходя к безразмерным переменным и используя связь $f = f_F^s + \varphi g$, получаем

$$Q = \frac{1}{\delta_Q} [g_3(\alpha) e_{as} + g_3(\alpha) h_1(\alpha) g_T], \quad \delta_Q = \frac{\pi^2 \hbar^3}{mk^3 T_s^3}, \quad (16)$$

где

$$h_1(\alpha) = \frac{\Delta_1(\alpha)}{g_3(\alpha) g_0(\alpha)}, \quad \Delta_1(\alpha) = g_2(\alpha) g_3(\alpha) - g_0(\alpha) g_5(\alpha).$$

При этом величина

$$\chi = -\frac{\lambda}{T_s \delta_Q} \frac{D_1(\alpha)}{g_0(\alpha)} > 0$$

— теплопроводность металла.

Выразим скачок температуры и потенциала как функции силы тока и потока тепла. Из уравнений (15) и (16) находим

$$\begin{aligned}g_T &= -\frac{1}{\Delta(\alpha)} [j \delta_j g_3(\alpha) + Q \delta_Q g_1(\alpha)], \\ e_{as} &= \frac{1}{g_0(\alpha) \Delta(\alpha)} [j \delta_j \Delta_1(\alpha) + Q \delta_Q \Delta_0(\alpha)].\end{aligned}$$

Теперь из уравнений (7) и (14) с помощью (17), (18) найдем величину скачка температуры (в размерном виде)

$$\Delta T = \frac{2V_1 T_s}{\Delta(\alpha)} [j \delta_j g_3(\alpha) + Q \delta_Q g_1(\alpha)]$$

и величину скачка потенциала

$$\Delta U = j \delta_j \left[\frac{8p-4}{3p g_1(\alpha)} + 2V_1 \frac{\Delta_1(\alpha)}{g_0(\alpha) \Delta(\alpha)} \right] + Q \delta_Q \frac{2V_1 \Delta_0(\alpha)}{g_0(\alpha) \Delta(\alpha)}.$$

Перейдем к размерному скачку потенциала

$$\Delta U = 2 \int_0^\infty (E(x) - E_{as}) dx,$$

где $x = \lambda x'$ — размерная координата, x' — безразмерная.

Учитывая, что

$$E(x) = \frac{k T_s}{e_0 \lambda} e(x),$$

для размерного скачка потенциала имеем

$$\begin{aligned}\Delta U &= \frac{k T_s \delta_j}{\lambda e_0} \left[\frac{8p-4}{3p g_1(\alpha)} + 2V_1 \frac{\Delta_1(\alpha)}{g_0(\alpha) \Delta(\alpha)} \right] j \\ &+ \frac{k T_s \delta_Q}{\lambda e_0} \frac{2V_1 \Delta_0(\alpha)}{g_0(\alpha) \Delta(\alpha)} Q.\end{aligned}$$

Введем безразмерные кинетические коэффициенты (рис. 1–4)

$$C_T^j(\alpha) = -2V_1 \frac{g_1(\alpha) g_3(\alpha)}{\Delta(\alpha)}, \quad C_T^Q(\alpha) = -2V_1 \frac{g_1(\alpha) \Delta_1(\alpha)}{g_0(\alpha) \Delta(\alpha)},$$

$$C_U^j(\alpha, p) = -\left[\frac{8p-4}{3p} + 2V_1 \frac{g_1(\alpha) \Delta_1(\alpha)}{g_0(\alpha) \Delta(\alpha)} \right],$$

$$C_U^Q(\alpha) = -2V_1 \frac{\Delta_0(\alpha) \Delta_1(\alpha)}{g_0^2(\alpha) \Delta(\alpha)}.$$

С помощью введенных электрической проводимости и теплопроводности металла скачок температуры и потенциала представим в размерном виде

$$\Delta T = \frac{e_0 \lambda}{\sigma k} C_T^j(\alpha) j + \frac{\lambda}{\chi} C_T^Q(\alpha) Q,$$

$$\Delta U = \frac{1}{\sigma} C_U^j(\alpha, p) j - \frac{k}{e_0 \chi} C_U^Q(\alpha) Q. \quad (17)$$

Таким образом, поток тепла Q вызывает как скачок температуры, так и скачок потенциала, а ток вызывает

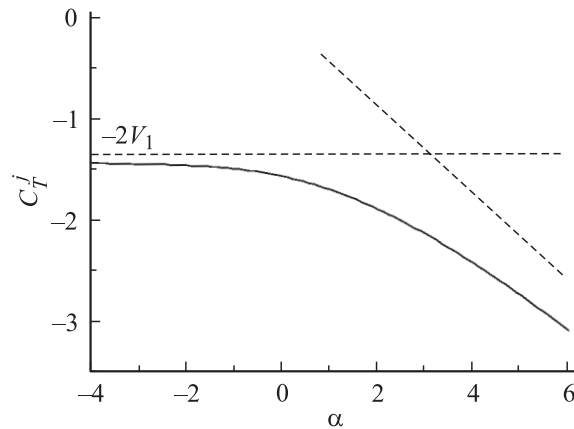


Рис. 1.

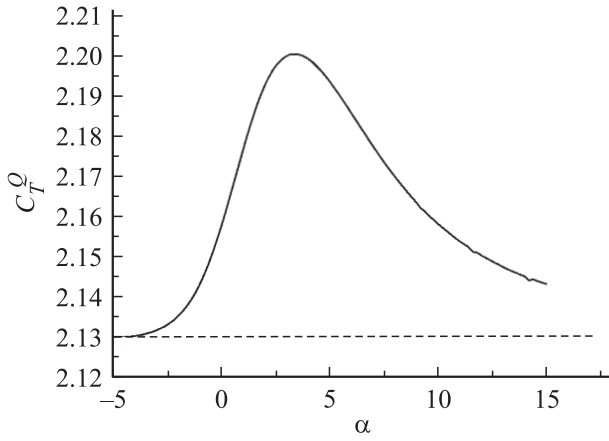


Рис. 2.

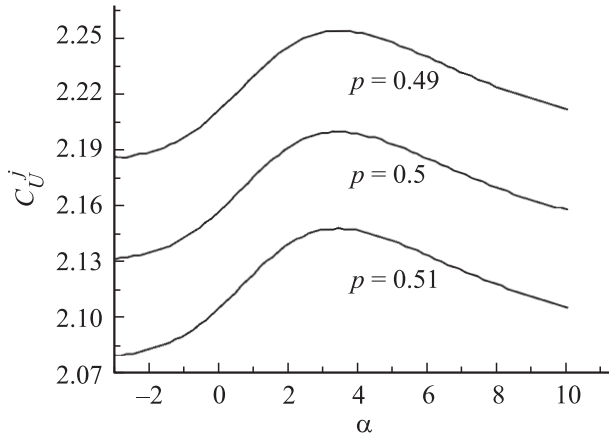


Рис. 3.

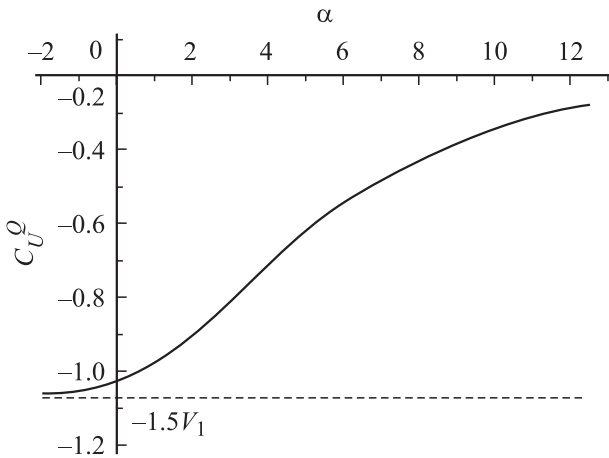


Рис. 4.

наряду со скачком потенциала и скачок температуры, т. е. имеют место перекрестные эффекты.

Из всех коэффициентов, выходящих в формулу (17), только коэффициент C_U^j зависит от вероятности рассеяния электронов вперед p .

Отметим, что величину $\rho_s = C_j^U/\sigma$ можно рассматривать как удельное (на единицу площади) электрическое сопротивление границы кристаллитов. Аналогично величину $\lambda C_Q^T/\chi$ можно рассматривать как удельное сопротивление границы кристаллитов. При этом величина ρ_s неограниченно возрастает по мере того, как вероятность рассеяния электронов вперед p стремится к нулю, так как в этом случае поверхность раздела становится непроницаемой для электронов.

Предельные случаи

Найдем асимптотику кинетических коэффициентов при $\alpha \rightarrow +\infty$ (вырожденная плазма) и при $\alpha \rightarrow -\infty$ (случай классической плазмы). Начнем со случая вырожденной плазмы. Воспользуемся формулой (58,1) из [7, с. 191]

$$\int_0^{\infty} \frac{f(x)dx}{\exp(x-\alpha)+1} = \int_0^{\alpha} f(x)dx + \frac{\pi^2}{6} f'(\alpha) + \frac{7\pi^2}{360} f'''(\alpha) + \dots, \quad \alpha \gg 1.$$

На основании этой формулы при $\alpha \rightarrow +\infty$ имеем

$$g_0(\alpha) = \alpha^{1/2} - \frac{\pi^2}{24} \alpha^{-3/2} + \dots, \quad g_1(\alpha) = \alpha + \dots,$$

$$g_2(\alpha) = \alpha^{3/2} + \frac{\pi^2}{8} \alpha^{-1/2} + \dots, \quad g_3(\alpha) = \alpha^2 + \frac{\pi^2}{3} + \dots,$$

$$g_4(\alpha) = \alpha^{5/2} + \frac{5\pi^2}{8} \alpha^{1/2} + \dots, \quad g_5(\alpha) = \alpha^3 + \pi^2 \alpha + \dots$$

Следовательно, при $\alpha \rightarrow +\infty$

$$\Delta_0(\alpha) = -\frac{\pi^2}{6} \alpha^{1/2} + \dots, \quad \Delta_1(\alpha) = -\frac{\pi^2}{2} \alpha^{3/2} + \dots,$$

$$\Delta(\alpha) = \frac{\pi^2}{3} \alpha^2 + \dots$$

Следовательно, асимптотика кинетических коэффициентов при $\alpha \rightarrow +\infty$ (вырожденная плазма) такова:

$$C_T^j(\alpha) = -\frac{6V_1}{\pi^2} \alpha + \dots, \quad C_T^O(\alpha) = 3V_1 + \dots,$$

$$C_U^j(p, \alpha) = 3V_1 - \frac{8p-4}{3p} + \dots, \quad C_U^O(\alpha) = -\frac{V_1 \pi^2}{\alpha} + \dots$$

Перейдем к случаю классического газа. В этом случае при $\alpha \rightarrow -\infty$ имеем

$$g_0(\alpha) = \frac{\sqrt{\pi}}{2} \exp \alpha, \quad g_1(\alpha) = \exp \alpha, \quad g_2(\alpha) = \frac{3\sqrt{\pi}}{4} \exp \alpha,$$

$$g_3(\alpha) = 2 \exp \alpha, \quad g_4(\alpha) = \frac{15}{8} \sqrt{\pi} \exp \alpha, \quad g_5(\alpha) = 6 \exp \alpha,$$

$$\Delta \alpha = 2 \exp(2\alpha), \quad \Delta_0(\alpha) = -\frac{\sqrt{\pi}}{4} \exp(2\alpha),$$

$$\Delta_1(\alpha) = -\frac{3}{2} \sqrt{\pi} \exp(2\alpha).$$

На основании этих формул для кинетических коэффициентов при $\alpha \rightarrow -\infty$ (случай классической плазмы) имеем следующую асимптотику:

$$C_T^j(\alpha) = -2V_1 + \dots, \quad C_T^Q(\alpha) = 3V_1 + \dots,$$

$$C_U^j(p, \alpha) = 3V_1 - \frac{8p-4}{3p} + \dots,$$

$$C_U^Q(\alpha) = -\frac{3}{2}V_1 + \dots$$

На рис. 1–4 приведены графики зависимости коэффициентов C_T^j , C_T^Q , C_U^j , C_U^Q от величины α . Из рисунков видно, что коэффициенты C_T^Q и C_U^j достигают максимальных значений при $\alpha \approx 4$. Коэффициент C_U^j проявляет сильную зависимость от вероятности рассеяния электронов вперед p , что видно из рис. 3.

Работа выполнена при частичной финансовой поддержке (А.В. Латышева) (грант РФФИ № 03-01-00281).

Список литературы

- [1] *Абрикосов А.А.* Введение в теорию нормальных металлов. М.: Наука, 1972. 288 с.
- [2] *Ландау Л.Д., Лифшиц Е.М.* Физическая кинетика. М.: Наука, 1979. 528 с.
- [3] *Латышев А.В., Юшканов А.А.* // ЖТФ. 2003. Т. 73. Вып. 7. С. 37–45.
- [4] *Латышев А.В., Юшканов А.А.* // ФТТ. 2001. Т. 43. № 10. С. 1744–1750.
- [5] *Жирифалько Л.* Статистическая физика твердого тела. М.: Мир, 1975. 384 с.
- [6] *Кейз К, Цвайфель П.* Линейная теория переноса. М.: Мир, 1972. 384 с.
- [7] *Ландау Л.Д., Лифшиц Е.М.* Статистическая физика. М.: Наука, 1976. 584 с.